

東京工業大学 正員 三木千寿
東京工業大学 正員 西村俊夫

1. はじめに 繰返し外力をうける構造物の応力解析あるいは低サイクル疲労寿命の評価を行なうためには、対象とする材料の繰返し応力～ひずみ特性を十分把握する必要がある。ここでは調質高張力鋼SM58, HT80 (WES規格HW70) と、比較のためにSS41, SM50に対し、ひずみ制御循環サイクル疲労試験を行ない、その繰返し応力～ひずみ挙動について以下の点を考察した。

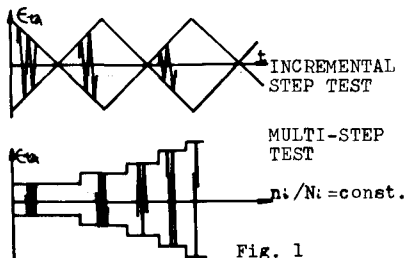
- 一定ひずみ振幅試験における定常ヒステリシスループのループ4～7を結んだ繰返し応力～ひずみ曲線 (cyclic stress-strain curve) およびヒステリシスループ形状に対する平均ひずみの影響。
- 繰返し応力～ひずみ曲線を1本の試験片で簡便に求めるために提案されている Incremental-step test と Multi-step test の検討 (図-1)。

2. 実験の方法 表-1にミルシートによる供試鋼材の機械的性質を示す。試験片はすべてその軸とロール方向を一致させ、板厚中心位置から採取した。試験片は最小断面部の直径が 10^{mm} ある (いす 8 mm) の砂時計型 (形状係数 1.06) である。実験は動的能力 $\pm 5.0\text{ TON}$ の電気油圧型疲労試験機を用い、試験片最小断面部の直径方向度位を制御した。繰返し速度はひずみ速度が $2 \times 10^3 / \text{sec.}$ と定めようとした。制御波形は三角波である。

平均ひずみは $0, +0.1, -0.1$ の3種類とした。HT80, SM58 では静的引張試験における最大荷重時ひずみは、 0.1 あるいはそれ以下である。

3. 一定ひずみ振幅下での繰返し応力～ひずみ挙動 ひずみの繰返しによって、平均ひずみ (ϵ_m) が 0 の時は、SS41, SM50 は繰返し硬化、SM58, HT80 は繰返し軟化がある。 $\epsilon_m = +0.1, -0.1$ の時は、オイサイクル毎にそれと逆の引張、圧縮の平均応力が生ずるが、ひずみの繰返しによりそれが徐々に消失するような挙動を示す。

図-2 は疲労寿命の後の繰返し回数 N_f



	SS41	SM50	SM58	SM58	HT80
V.P. (kg/mm ²)	29	33	33	55	84
T.S. (%)	46	52	51	71	88
EL (%)	—	29	28	30	31

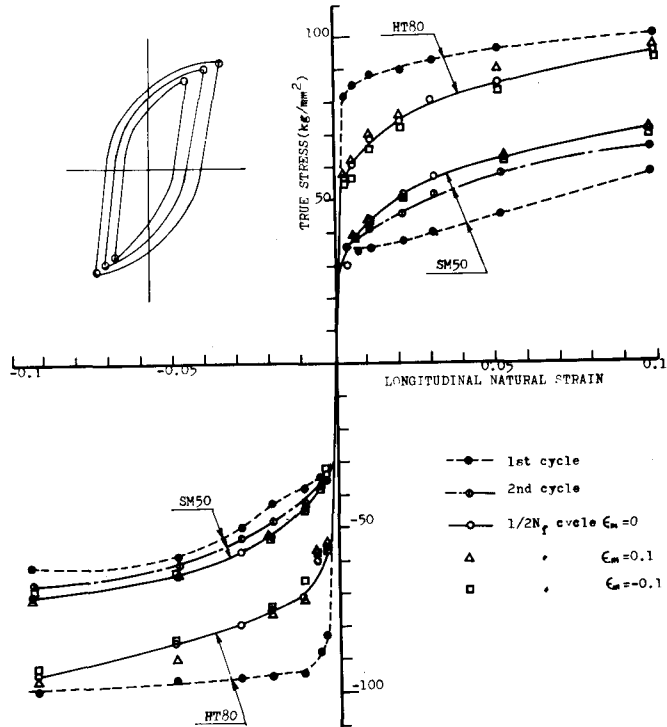


図-2. 繰返し応力～ひずみ曲線。

のヒステリシスループを定常と見なしして γ^0 とした繰返し応力へひずみ曲線、およびオーナサイクル目、2サイクル目(SM50のみ)のループ $\gamma^0 \sim \gamma^0$ を組んだ曲線である。同図より、これらは鋼種での繰返し硬化、繰返し軟化挙動が明らかであり、特にSM58、HT80ではひずみ振幅の小さい領域で大幅な繰返し軟化があることは、注意すべき性質である。

図-2には $\epsilon_m=+0.1,-0.1$ の各実験での γ^0 のループ $\gamma^0 \sim \gamma^0$ を、 ϵ_m を原点に移動してアリットした。各卓は $\epsilon_m=0$ の繰返し応力へひずみ曲線にはほぼ一致しており、この程度の平均ひずみは、いずれの鋼種でも繰返し応力へひずみ曲線に対する影響は無視できる程度である。

図-3はループ $\gamma^0 \sim \gamma^0$ を原点とし、ヒステリシスループの上り側下り側の各曲線の真応力と塑性ひずみを両対数で示したものである。同図において広いひずみ領域で直線性を示すことがあり、その勾配(繰返しひずみ硬化係数 n)を求め、塑性ひずみ振幅(ϵ_{pa})との関係を図-4に示した。これは ϵ_{pa} の増大に対して直線的(両対数)に変化すること、およびヒステリシスループ形状にも平行ひずみ ϵ_m が影響しないことが明らかである。

4. Incremental step test と multi-step test の検討。各試験から得られた定常状態での真応力振幅と、塑性ひずみ振幅の関係を図-5(両対数)に示した。一定ひずみ振幅試験の結果は、SM58、HT80の ϵ_{pa} が小さい領域を除いて良い直線関係となる。このような一定ひずみ振幅試験結果に求めたには、HT80、SM58では incremental step test が良く、SM50、SS41では multi-step test が良いといえる。この傾向は平均ひずみがある場合も同様である。

5. おわりに 調査した鋼種 SM58、HT80 の繰返し応力へひずみ特性は、SS41、SM50のそれと大きく異なることが明らかとなった。
注：実験結果は HT80 と SM50² は同じ材料である。

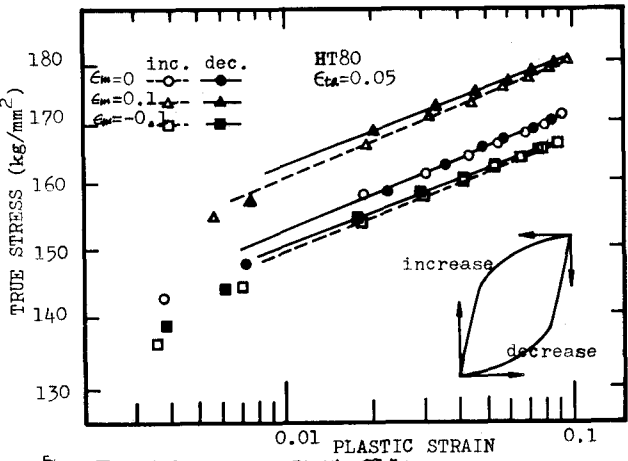


図-3. ヒステリシスループ形状の検討

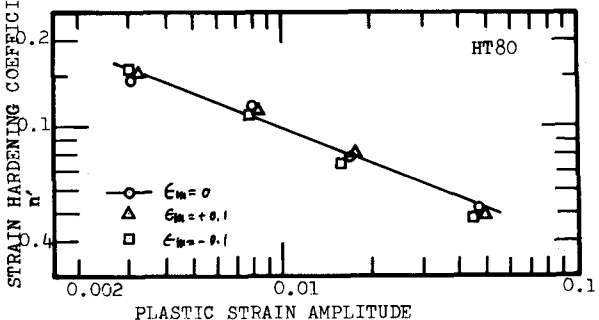


図-4. ヒステリシスループの繰返しひずみ硬化係数と塑性ひずみ振幅

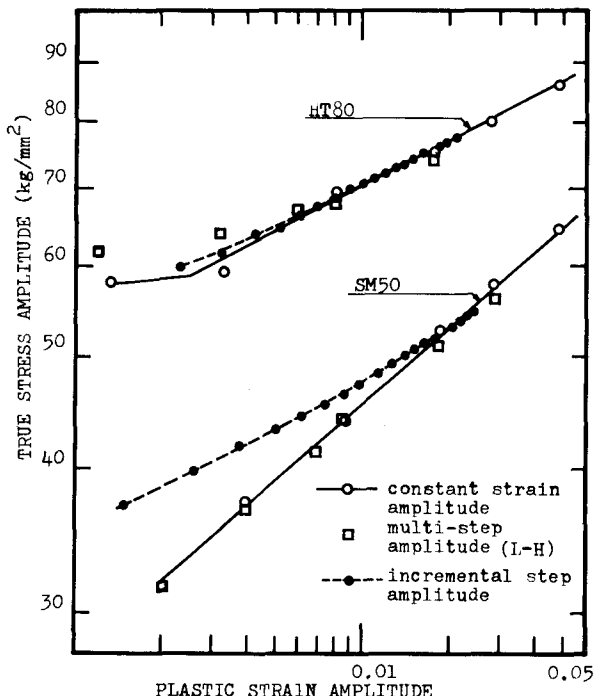


図-5. 真応力振幅と塑性ひずみ振幅。